

TOPOLOGIA E GEOMETRIA DIFFERENZIALE

Prof. M. Spaa

a.a. 2009/10

Lezione XI

Breve digressione sulla teoria di Morse
 (v. anche Appndice a Squassina - Zuccher,
 note de Seminario, Cortona '83)

" Da X , campo vettoriale, a f "

$$X = \nabla f$$

da Poincaré - Hopf

$$\chi(Tg) = 2 - 2g =$$

$$= m - s + M$$

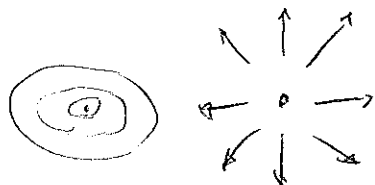
min # selle # massimi

La matrice Hessiana in un pt. critico v_i inciso
 è ben definita a meno di congruenza

[i.e., è ben definita la forma quadratica Hessiana]

si considerano i p critici isolati, non degeneri
 (i.e. la forma quadratica Hessiana è non degenera,
 e ciò vale \Leftrightarrow una, e quindi tutte le matrici
 Hessiane, in coord. diverse, sono non singolari.)

curve
 del livello

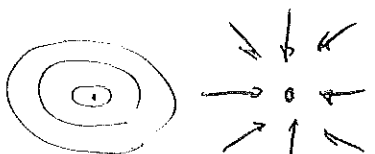


minimo : segatura (2,0) (def. positiva)

$$H \approx \begin{pmatrix} +1 & 0 \\ 0 & +1 \end{pmatrix}$$

$$i_p(f) = 0 \quad (= \# \text{ autoval} < 0)$$

matrice
 di Morse

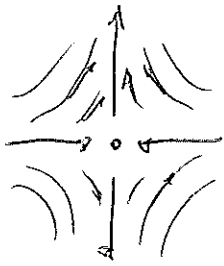


massimo

$$H \approx \begin{pmatrix} -1 & 0 \\ 0 & -1 \end{pmatrix}$$

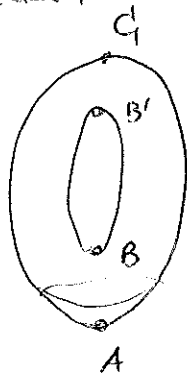
segatura (0,2) def. negativa

$$i_p(f) = 2 \quad (= \# \text{ autoval} < 0)$$



sella $\mathbb{R}^2 \approx \begin{pmatrix} 1 & 0 \\ 0 & -1 \end{pmatrix}$ sign: (1,1)
 $i_p(f) = 1$

Consideriamo nuovamente la funzione $f = h$ ottenuta
 su un toro "immerso" in \mathbb{R}^3
 Embedded



consideriamo

$$\{f \leq c\}$$

30 No livelli

$$c \geq 0$$

vedi inciso

$c = 0$

A

o



omotop. equivalenti

tra A e B



in B



cosa succede tra  e 

tra B e B'



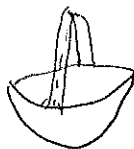
~



ritocco una 1-cella



~



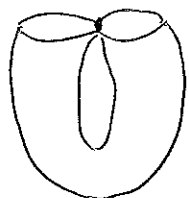
~



~



in B'



tra B' e C



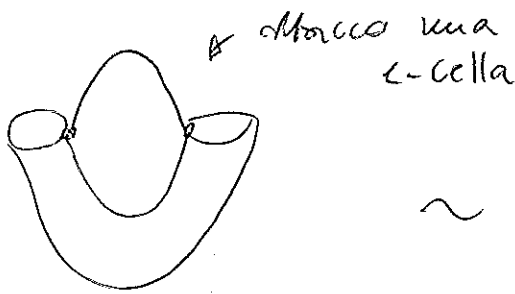
Cosa succede tra



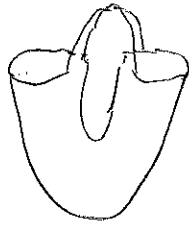
e



?



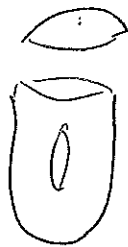
~



~



Infine



e trova



Attacco
una
2 cella

In generale, in virtù del lemma di Morse, in un intorno di un pto critico trovo un opportuno sistema di coordinate tale che

$$f = c - \alpha_1^2 - \alpha_2^2 - \alpha_k^2 + \alpha_{k+1}^2 + \dots + \alpha_m^2$$

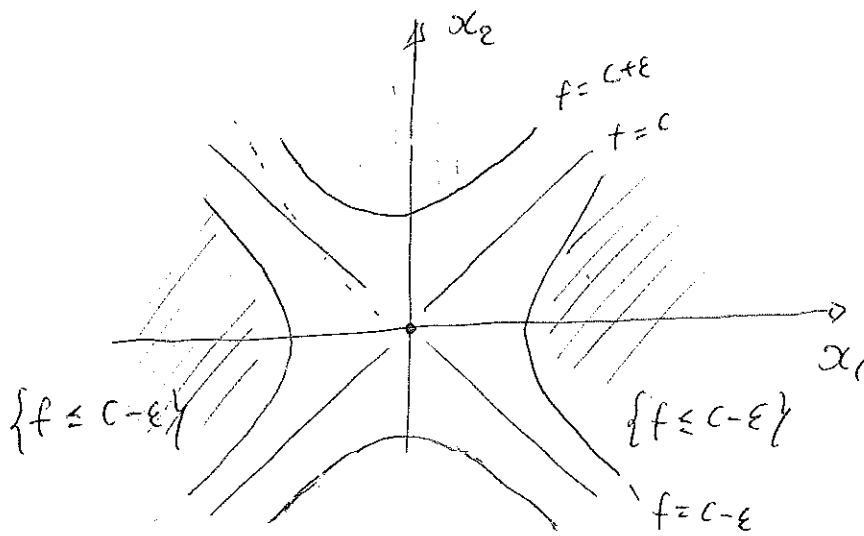
\parallel \uparrow
 $f(p)$ indice di p

il "paesaggio geometrico" individuato da f

\tilde{i} , posto $(\epsilon > 0)$

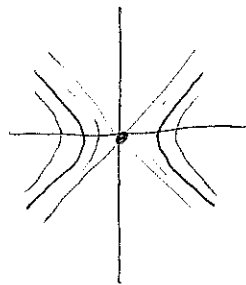
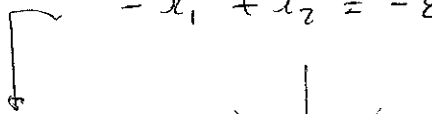
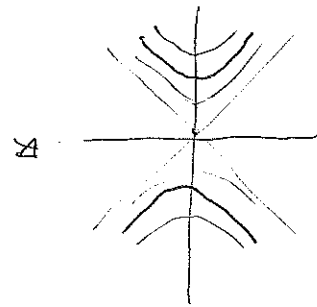
Ex: $n=2$

$R=1$

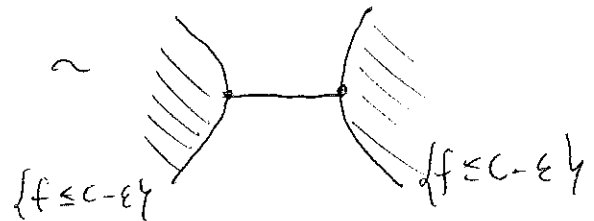
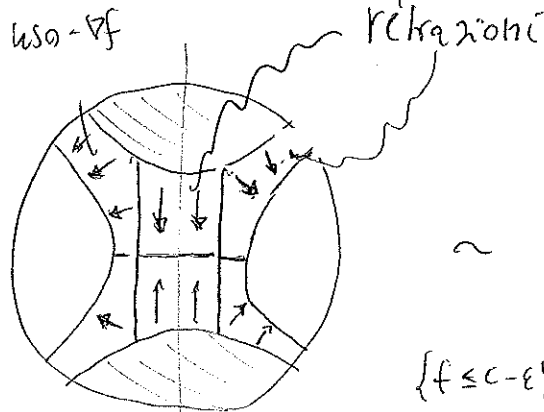


$$-x_1^2 + x_2^2 = \epsilon > 0$$

$$-x_1^2 + x_2^2 = -\epsilon$$



in dettaglio:



*** // omotopicamente, $\{f \leq c + \epsilon\}$ si ottiene da $\{f \leq c - \epsilon\}$
 attaccando una R -cella, con $R = \text{indice di } p.$

Conseguenza del teorema di Poincaré - Hopf :

(caso particolare del teorema di Morse)

Sia data Z_g
chiusa, orientabile



Sia $f : Z_g \rightarrow \mathbb{R}$

funzione di Morse, i.e. ($\#$ finito di)
pti critici
non degenerati

[X di rango massimo]

Sia $m = \#$ minimi
 $s = \#$ selle
 $M = \#$ massimi

\hat{E}

$$\chi(Z_g) = 2 - 2g = m - s + M$$

Dim. Basta considerare $X = \nabla f$

(gradiente riemanniano, risp. p.e. alla metrica indotta su Z_g dalla metrica standard su \mathbb{R}^3)

$X(p) = 0 \Leftrightarrow p$ è critico per f .

$$i_p(X) = \begin{cases} 1 & p \text{ max o min} \\ -1 & p \text{ sella} \end{cases}$$

Il risultato segue da Poincaré - Hopf

★ Teoria di Morse (cenni)

dettagli ulteriori

further details

Sia p pto critico di $f : M \rightarrow \mathbb{R}$

$$df(p) = 0 \quad \left(\frac{\partial f}{\partial x_i} = 0 \quad i=1 \dots n \right) \quad \begin{matrix} \text{variabili} \\ \text{(o sempl. } \mathbb{R}^n) \end{matrix}$$

tale concetto è Intrinseco.

esplicitamente, cambiando coordinate $x \rightarrow y$

$$\frac{\partial f}{\partial y_j} = \sum_i \frac{\partial f}{\partial x_i} \frac{\partial x_i}{\partial y_j}$$

$$\frac{\partial f}{\partial x_i} = 0 \Rightarrow \frac{\partial f}{\partial y_j} = 0$$

non solo: calcoliamo

$$\frac{\partial^2 f}{\partial y_i \partial y_j} = \frac{\partial}{\partial y_i} \left(\sum_k \frac{\partial f}{\partial x_k} \frac{\partial x_k}{\partial y_j} \right) =$$

$$\sum_k \frac{\partial}{\partial y_i} \left(\frac{\partial f}{\partial x_k} \right) \frac{\partial x_k}{\partial y_j} + \frac{\partial f}{\partial x_k} \frac{\partial}{\partial y_i} \left(\frac{\partial x_k}{\partial y_j} \right) =$$

$$= \sum_k \sum_h \frac{\partial}{\partial x_h} \left(\frac{\partial f}{\partial x_k} \right) \frac{\partial x_h}{\partial y_i} \frac{\partial x_k}{\partial y_j} + \sum_k \frac{\partial f}{\partial x_k} \frac{\partial^2 x_k}{\partial y_i \partial y_j}$$

$$= \sum_{h,k} \frac{\partial^2 f}{\partial x_k \partial x_h} \frac{\partial x_h}{\partial y_i} \frac{\partial x_k}{\partial y_j} + \sum_k \frac{\partial f}{\partial x_k} \frac{\partial^2 x_k}{\partial y_i \partial y_j}$$

(ricordare Schwarz)

in un pto critico

X e Y spazi topologici

caso

$X \sim Y$ stesso tipo di omotopia
homotopy type

se \exists $f: X \rightarrow Y$
 $g: Y \rightarrow X$

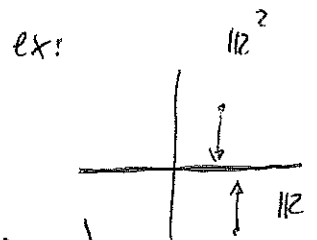
t.c. $f \circ g \sim id_Y$ \sim omotope
 $g \circ f \sim id_X$

\star X è detto contrattile se ha lo stesso tipo di omotopia di un punto

\star Sia $i: A \hookrightarrow X$ $A \subset X$
Inclusione.

Sia $r: X \rightarrow A$ tale che

$r|_A = id$ $(r \circ i = id)$



r : retrazione

se $i \circ r: X \rightarrow X$ $\sim id_X$

Si ha una retrazione per deformazione, ovvero

A è un retrocesso per deformazione (di X)

~~Es:~~ Es: $A = S^1$, $X = \mathbb{R}^2 \setminus \{(0,0)\}$ $x = (x_1, x_2)$

$r = r(x) = \frac{x}{\|x\|}$ $i \circ r(x) = \frac{x}{\|x\|}$ \sim omotopa all'identità $x \rightarrow x$

$F(x, t) = \frac{x}{\|x\|} t + (1-t)x$ $t=0$ $x \rightarrow x$ id
 $t=1$ $x \rightarrow \frac{x}{\|x\|}$ r

* CW -complesso (Whitehead, 1949)

closure finiteness weak topology

(X, \mathcal{E})

è detta

CW -complesso
Complex

↑ \mathbb{R} decomposizione in celle
Hausdorff

è valgono gli assiomi seguenti

cella e : sp. topologico (+)
cell $\cong \mathbb{R}^n$
omeo
(o ad un disco aperto)

1. Applicazioni caratteristiche
characteristic maps

$\forall n$ -cella $e \in \mathcal{E} \exists \Phi_e : D^n \rightarrow X$

tale che $D^n \xrightarrow[\text{omeo}]{\sim} e$

e S^{n-1} (frontiera di D^n)

nell'unione delle celle di dim
al più $n-1$

2. Chiusura della Chiusura
closure finiteness

\bar{e} interseca un numero finito di celle

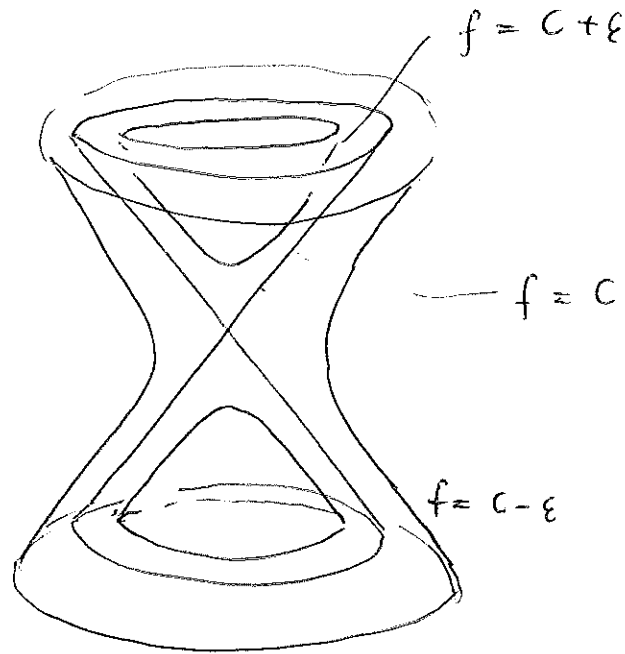
3. topologia debole
weak topology.

$A \subset X$ è chiuso $\Leftrightarrow A \cap \bar{e}$ è chiuso \forall cella e

(+) spesso per cella si intende \bar{e} (sp. top. omeo ad un disco chiuso)

$$n = 3$$

$$R = 2$$



cono:

$$x^2 + y^2 - z^2 = 0$$

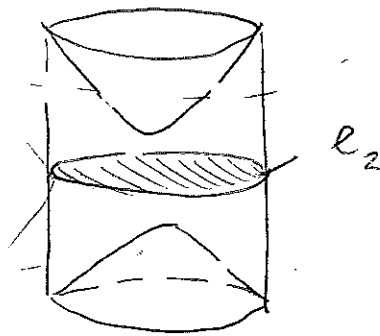
$$-x^2 - y^2 + z^2 = 0$$

$$-x_1^2 - x_2^2 + x_3^2 = 0$$

$$f = C - x_1^2 - x_2^2 + x_3^2$$

$$\varepsilon = -x_1^2 - x_2^2 + x_3^2$$

($\varepsilon > 0$)



abbacimento di una 2-cella
(in ambiente tridimensionale)

Teoria di Morse

Cosa ci occorre per l'effettiva ^{rigorosa} costruzione della teoria?
 what do we need for the actual ^{rigorous} construction of the theory?

- M inclusa in \mathbb{R}^N
embedded

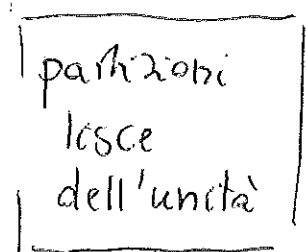
(Whitney)

- Metrica Riemanniana
 su M

- funzioni di Morse
lemma di Morse "funzione alterna"

* esistenza

← Lemma di Sard



fanno uso delle "funzioni a campana"



*** Teorema di Milnor

|| Ogni varietà compatta ha il tipo di omotopia di un CW-complesso finito

Dare (Schema) Per Whitney, M è sottovarietà di \mathbb{R}^N .

Sia f una funzione di Morse. Per il lemma di Morse le sing. sono isolate. Inoltre $M_a = f^{-1}([-\infty, a])$ è in \mathbb{R}^N finito (e compatto) compatto (chiuso in compatto). Siamo $p_1 \dots p_r$ (pi critici di indice 0). M si costruisce allegando celle (di dim $k \forall$ pto di indice k), a meno di omotopia. Il teorema è dimostrato. \square